

УДК 544.54+615.014.4

АВТОРАДИОЛИЗ РАДИОФАРМПРЕПАРАТА “2- ^{18}F ФТОРДЕЗОКСИГЛЮКОЗА” С ОБЪЕМНЫМИ АКТИВНОСТЯМИ 4–5.5 ГБк/мл

© 2020 г. С. Д. Бринкевич^а, *, О. В. Тугай^а

^аБелорусский государственный университет, просп. Независимости, 4, Минск, 220030 Беларусь

*E-mail: BrinkevichSD@bsu.by

Поступила в редакцию 15.08.2019 г.

После доработки 15.08.2019 г.

Принята к публикации 19.08.2019 г.

В работе изучена кинетика авторадииолизического разложения радиофармацевтического препарата “2- ^{18}F фтордезоксиглюкоза” (^{18}F ФДГ) с начальными объемными активностями 4.02–5.45 ГБк/мл в насыщенном воздухом физиологическом растворе. Показано, что увеличение начальной объемной активности или снижение концентрации этанола (химическая примесь) приводят к более интенсивному накоплению радиолитического ^{18}F фторида и деградации радиохимической чистоты препарата. При хранении радиофармацевтического препарата зафиксировано снижение концентрации этанола и образование продукта его радиационно-индуцированных превращений – ацетальдегида, причем концентрация последнего коррелирует с относительной активностью ^{18}F фторида. Установлено, что при хранении препарата ^{18}F ФДГ с одинаковой начальной объемной активностью в герметичных флаконах объемом 15 мл по истечении 8 ч относительная активность ^{18}F фторида значительно выше в растворах объемом 8 мл по сравнению с 1.5 мл. Это может быть связано как с увеличением поглощенной препаратом дозы, так и с ингибирующим действием кислорода на процесс авторадииолизического дегалогенирования. Описан способ очистки ^{18}F ФДГ от примеси ^{18}F фторида в условиях действующего ПЭТ-центра, обеспечивающий сохранение асептики и апирогенности инъекционного лекарственного средства.

Ключевые слова: авторадииолиз, ^{18}F ФДГ, ПЭТ, радиофармпрепарат

DOI: 10.31857/S0023119320010040

ВВЕДЕНИЕ

Разложение радиоактивных фармацевтических лекарственных средств под действием излучения собственного радионуклида – авторадииолиз – приводит к потере активного фармакологического компонента, образованию нежелательных радиохимических примесей, увеличивающих дозовую нагрузку на пациентов и ухудшающих специфичность и селективность диагностических исследований с использованием меченых соединений [1, 2]. Вследствие авторадииолизического разложения снижается доступность методов ядерной медицины для населения из-за уменьшения сроков годности радиофармпрепаратов (РФП) и сокращения времени на доставку радионуклидной продукции [3].

Одним из наиболее востребованных РФП в настоящее время является 2- ^{18}F фтор-2-дезоксид-глюкоза (^{18}F ФДГ) – аналог важнейшего для человека углевода, содержащий вместо гидроксильной группы при C_2 -атоме радиоактивный

изотоп фтор-18. В силу благоприятных ядерно-физических свойств радионуклида и особенностей метаболизма РФП *in vivo* ^{18}F ФДГ широко применяется для диагностики онкологических, кардиологических и неврологических заболеваний методом позитронно-эмиссионной томографии (ПЭТ) [4]. Для бесперебойного обеспечения диагностических потребностей в США, Западной Европе и в последнее время в России одновременно работают как локальные производители ^{18}F ФДГ, так и крупные центры, ежедневно доставляющие продукцию в течение 1–6 ч с использованием авиационного и автомобильного транспорта. Вызванные экономическими факторами увеличение длительности перевозки и выпуск препаратов с высокими объемными активностями [5] значительно обостряют проблему авторадииолизического разложения ^{18}F ФДГ. Так, например, нестабилизированный препарат с начальными объемными активностями порядка 19–22 ГБк/мл имеет срок годности менее 1 ч [6], исключаящий

возможность его диагностического применения. Это указывает на необходимость детального изучения закономерностей авторадииолизического разложения [¹⁸F]ФДГ и проведения научно-обоснованного поиска ингибиторов данного процесса.

В нашей предыдущей работе [7] мы детально рассмотрели радиационно-индуцированные превращения [¹⁸F]ФДГ с начальными объемными активностями порядка 1–2 ГБк/мл. В настоящей статье будут представлены закономерности изменения химической и радиохимической чистоты, а также относительной активности [¹⁸F]фторида в насыщенном воздухе физиологическом растворе [¹⁸F]ФДГ с начальными объемными активностями 4.02–5.45 ГБк/мл. Такие объемные активности наиболее часто используются в мультидозовых флаконах для зарядки автоматических инъекторов, обеспечивающих приготовление индивидуальных доз [¹⁸F]ФДГ для пациентов в современных ПЭТ-центрах.

МЕТОДИКА ЭКСПЕРИМЕНТА

В работе без предварительной очистки использовали следующие коммерчески доступные реагенты: этанол, ацетонитрил, натрия [¹⁹F]фторид, 50% раствор NaOH в воде (“Sigma-Aldrich”, США); аналитические стандарты 2-[¹⁹F]фтор-2-дезоксид-Д-глюкозы ([¹⁹F]ФДГ), 2-[¹⁹F]фтор-2-дезоксид-Д-маннозы ([¹⁹F]ФДМ) и 1,2,3,4-тетра-О-ацетил-Д-глюкозы фирмы АВХ (Германия). Ультраристую воду (Тип 1) с удельным сопротивлением не менее 15 МОм получали с использованием лабораторной установки Milli-Q (“Merck Millipore”, США).

Для исследования авторадииолизического разложения использовали инъекционное лекарственное средство “2-[¹⁸F]фтордезоксиглюкоза” для ПЭТ-диагностики, полученное по стандартной технологии [8, 9] на кассетных модулях Synthera (“IBA”, Бельгия) с использованием наборов реагентов для производства [¹⁸F]ФДГ от АВХ (Германия).

Для изучения динамики накопления свободного [¹⁸F]фторида и изменения радиохимической чистоты препарата при хранении в стандартные флаконы объемом 15 мл фасовали 1.5 мл РФП, для подтверждения назначенного срока хранения использовали 8 мл. После розлива фармацевтической субстанции флаконы закупоривали бутылкаучковой пробкой, обжимали алюминиевой крышкой, маркировали и выгружали из радиационно-защитной камеры в свинцовых контейнерах CF-18 Pb (“Comeser”, Италия).

Полный контроль качества готового лекарственного средства [¹⁸F]ФДГ проводили через 8 ч (назначенный срок хранения) для проверки соот-

ветствия выпускаемого РФП требованиям статьи государственной фармакопеи Республики Беларусь на лекарственное средство “2-[¹⁸F]фтордезоксиглюкоза”, гармонизированной с европейской фармакопеей [10]. Динамику накопления [¹⁸F]фторида и других радиохимических примесей контролировали методами радио-ТСХ и радио-ВЭЖХ сразу после выпуска партии и далее через 2, 4, 6 и 8 ч.

Содержание этанола, ацетальдегида и других остаточных растворителей определяли методом газовой хроматографии на Agilent 6850 с пламенно-ионизационным детектором аналогично [11, 12]. Методики радио-ТСХ и радио-ВЭЖХ анализа подробно описаны в работе [7]. При проведении исследований в лаборатории поддерживали постоянный температурный режим – 23 ± 2°C.

Для очистки [¹⁸F]ФДГ от [¹⁸F]фторида применяли последовательно соединенные картридж твердофазной экстракции Alumina В (“Waters”, США) и систему стерилизующей фильтрации с размером пор 0.22 μm (“Merck Millipore”, США). Раствор РФП пропускали со скоростью 5 мл/мин через сборку, после чего ее промывали трехкратным объемом воды для инъекций. [¹⁸F]Фторид в элюате не детектируется, при его относительных активностях до 15% в исходном растворе [¹⁸F]ФДГ.

Все работы с высокоактивными препаратами проводились при строгом соблюдении мер радиационной безопасности квалифицированным персоналом в специализированной радиофармацевтической лаборатории.

РЕЗУЛЬТАТЫ И ОБСУЖДЕНИЕ

При хранении растворов [¹⁸F]ФДГ наблюдается снижение ее радиохимической чистоты – доли активности, которая приходится на основное меченое соединение от общей активности препарата. При этом единственным регистрируемым радиоактивным продуктом авторадииолизических превращений является [¹⁸F]фторид, другие радиохимические примеси присутствуют в РФП с момента производства и их доля изменяется в пределах погрешности измерения [7].

Динамика изменения относительной активности [¹⁸F]фторида при хранении [¹⁸F]ФДГ представлена на рис. 1. Можно заметить, что увеличение начальной объемной активности с 1–2 ГБк/мл до 4–5.5 ГБк/мл приводит к ускорению радиационно-индуцированного дегалогенирования [¹⁸F]ФДГ как по данным фармакопейного метода радио-ТСХ [10], так и по результатам радио-ВЭЖХ, которая обладает более высокой точностью и воспроизводимостью результатов. Однако в пределах рассматриваемого диапазона начальных объемных активностей можно заметить, что графики на-

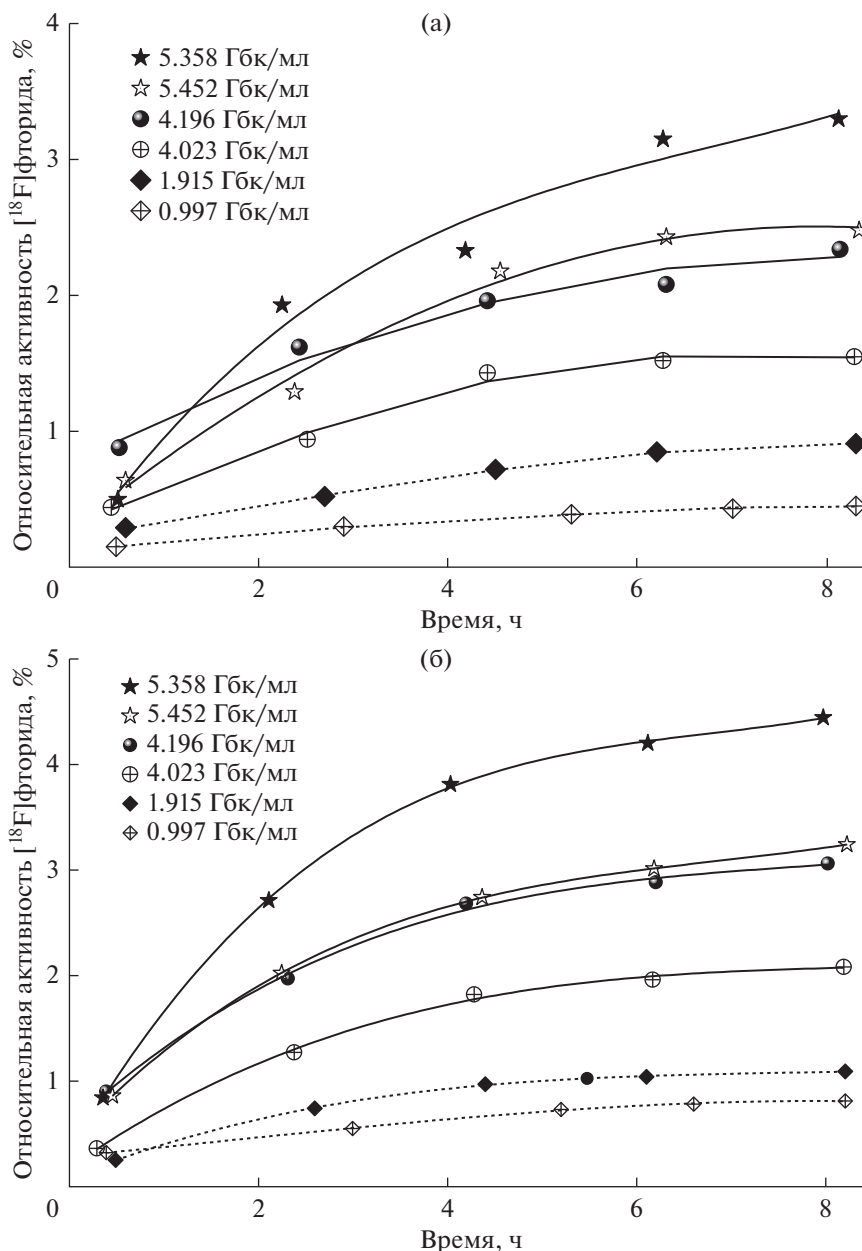


Рис. 1. Изменение относительной активности $[^{18}\text{F}]$ фторида при хранении растворов радиофармпрепарата $[^{18}\text{F}]$ ФДГ в зависимости от начальной объемной активности по данным радио-ТСХ (а) и радио-ВЭЖХ (б).

копления $[^{18}\text{F}]$ фторида практически совпадают для растворов содержащих 4.196 ГБк/мл и 5.452 ГБк/мл на момент выпуска партии. Поглощенная доза для последнего раствора РФП на 30.0% превышает соответствующее значение для образца с начальной объемной активностью 4.196 ГБк/мл и, поэтому, следовало бы ожидать накопления более высоких активностей $[^{18}\text{F}]$ фторида при хранении.

Полученные экспериментальные данные могут быть объяснены различиями в концентрациях химических примесей, в первую очередь этанола, в исследуемых растворах РФП. Так, содержание

этанола в растворе $[^{18}\text{F}]$ ФДГ с начальной объемной активностью 5.452 ГБк/мл было на 28.6% выше, чем в РФП с активностью 4.196 ГБк/мл на момент выпуска партии (табл. 1). Таким образом, увеличение поглощенной препаратом дозы было компенсировано более высокой концентрацией акцептора радикальных продуктов радиолитического распада воды.

Об активном вовлечении этанола в радиационно-индуцированные реакции, происходящие при хранении $[^{18}\text{F}]$ ФДГ, свидетельствует и снижение концентрации спирта, которое мы наблюдали во всех исследованных партиях РФП, причем наиболее активно этот процесс происходит в

Таблица 1. Динамика изменения концентрации ацетальдегида и этанола при хранении радиофармпрепарата [¹⁸F]ФДГ

Начальная объемная активность [¹⁸ F]ФДГ, ГБк/мл	Вещество	Содержание веществ в зависимости от времени хранения, моль/л × 10 ⁴				
		0 часов	2 часа	4 часа	6 часов	8 часов
4.196	Этанол	150.7	121.7	105.0	109.8	98.5
	Ацетальдегид	—	—	—	—	—
4.023	Этанол	205.2	151.5	151.1	134.6	132.8
	Ацетальдегид	0	2.05	3.64	3.86	5.23
5.452	Этанол	193.7	148.3	120.2	117.4	114.3
	Ацетальдегид	0	3.64	4.77	6.14	6.82
5.358	Этанол	75.4	63.0	57.4	52.0	46.5
	Ацетальдегид	0	6.59	7.05	8.64	9.32

первые 2 ч после выпуска партии. Более того, среди химических примесей в [¹⁸F]ФДГ, образующихся вследствие авторадииолиза, на рис. 2 отчетливо заметно присутствие ацетальдегида — продукта радиационно-индуцированных превращений этанола в насыщенных воздухом растворах [13]. При сопоставлении профилей накопления [¹⁸F]фторида (рис. 1) и приведенных в табл. 1 данных можно заметить, что значения концентраций альдегида коррелируют с процентом дегалогенирования [¹⁸F]ФДГ. При одинаковом времени хранения в образцах с более высокими величинами относительных активностей [¹⁸F]фторида содержание ацетальдегида было выше. Необходимо отдельно отметить, что это вещество относится к высокотоксичным соединениям и в инъекционных лекарственных средствах его содержание строго лимитируется фармакопеей величиной в 50 ppm или 1.14×10^{-3} моль/л. Поскольку мы обнаружили в одном из образцов через 8 ч хранения близкую к предельной концентрации ацетальдегида — 9.32×10^{-4} моль/л, при дальнейшем увеличении начальной объемной активности [¹⁸F]ФДГ препарат может не выдержать фармакопейные испытания не только из-за радиохимической чистоты, но и по содержанию химических примесей.

Этиловый спирт входит в состав щелочного гидролизующего агента при синтезе [¹⁸F]ФДГ на модуле Synthera (“IBA”, Бельгия) в соответствии с патентом [3], что позволяет вводить его в препарат уже на этапе синтеза активной фармацевтической субстанции. Кроме того, этанол может попадать в РФП вследствие его активного использования для обеспечения асептики радиофармацевтического производства, в частности, при ежедневной обработке линий трансферта активной фармацевтической субстанции, поверхностей модулей синтеза радиофармпрепаратов, экранированных свинцом радиохимических шкафов-изоляторов и другого оборудования в горячих лабораториях. Из-за на-

личия нескольких путей поступления концентрация этанола в готовой лекарственной форме [¹⁸F]ФДГ может отличаться от партии к партии вплоть до 2–3 раз, что непосредственно сказывается на интенсивности авторадииолитических процессов в РФП и, соответственно, флуктуациях его радиохимической чистоты.

Помимо начальной объемной активности и концентрации этанола в [¹⁸F]ФДГ на скорость радиационно-индуцированного дегалогенирования влияет и объем фасовки лекарственного средства. В табл. 2 представлены значения относительной активности [¹⁸F]фторида и радиохимической чистоты [¹⁸F]ФДГ после 8 ч хранения растворов РФП объемом 1.5 мл и 8 мл во флаконах. Можно заметить, что в образцах из одной партии РФП, имевших на момент выпуска одинаковую концентрацию этанола и объемную активность меченого соединения, увеличение объема с 1.5 до 8 мл приводит к приросту относительной активности [¹⁸F]фторида на 1–2.3% (в 1.32–1.52 раза) по данным радио-ВЭЖХ и 0.3–1.8% (в 1.12–1.54 раза) — в случае радио-ТСХ. Причем для флакона с 8 мл раствора [¹⁸F]ФДГ с начальной объемной активностью 5.358 ГБк/мл, имевшего невысокую концентрацию этанола на момент окончания синтеза — 7.54×10^{-3} моль/л, доля активности [¹⁸F]фторида по данным радио-ТСХ превышает установленный фармакопеей 5% предел [10]. Таким образом, данный образец [¹⁸F]ФДГ имеет фактический срок годности меньше 8 ч — периода, указанного в регистрационном досье на РФП. При этом флакон из идентичной партии РФП объемом 1.5 мл не имеет отклонений по содержанию [¹⁸F]фторида на момент окончания срока хранения.

Одна из причин наблюдаемой интенсификации авторадииолитического разложения [¹⁸F]ФДГ при увеличении объема фасовки раствора во флаконы может быть связана с ростом поглощенной препаратом дозы. В растворах РФП объемом

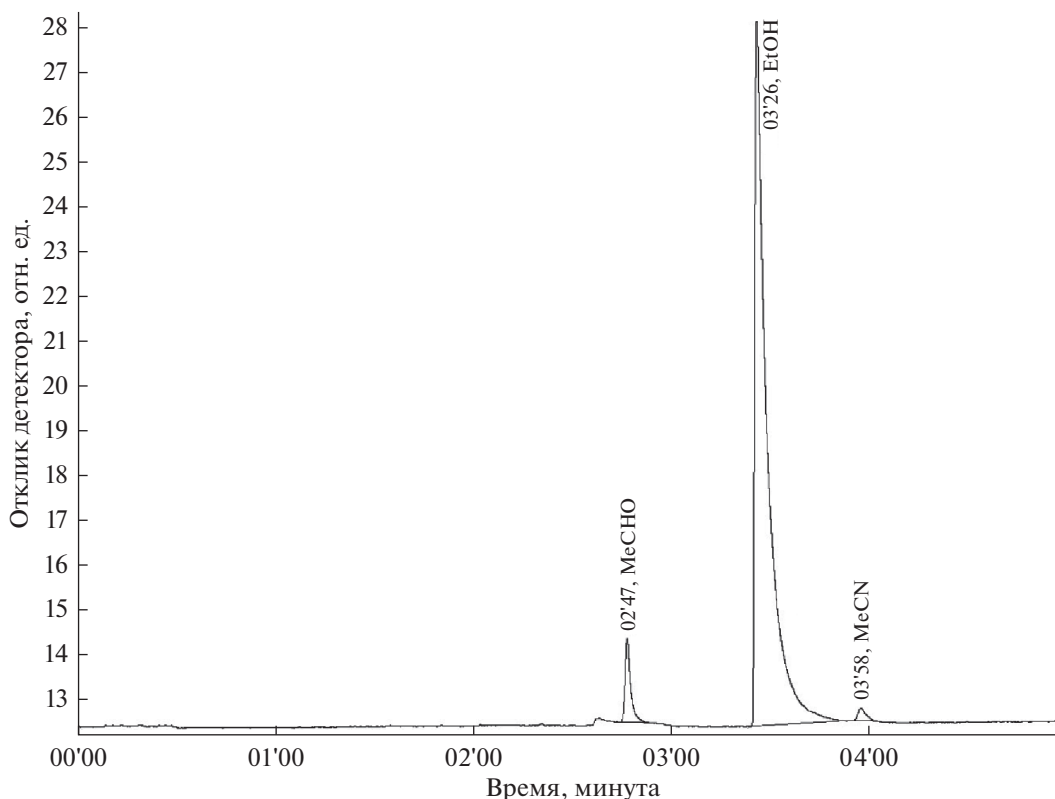


Рис. 2. Хроматограмма остаточных растворителей и легколетучих соединений в радиофармпрепарате [^{18}F]ФДГ с начальной объемной активностью 5.358 ГБк/мл через 6 ч хранения.

1.5 мл, что примерно соответствует 10% заполнения флакона, часть позитронов и вторичных электронов теряет свою кинетическую энергию уже в стекле. По мере увеличения степени заполнения флакона такой “эффект стенки” будет уменьшаться. Однако средний пробег позитрона, испускаемого ^{18}F , в воде составляет всего 0.6 мм

[14], поэтому только лишь увеличением поглощенной дозы сложно объяснить наблюдаемую интенсификацию авторадииолиза [^{18}F]ФДГ.

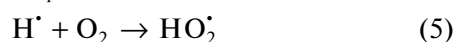
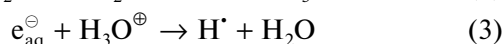
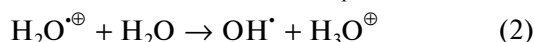
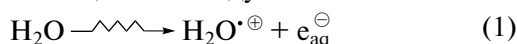
Можно заметить, что прирост относительной активности [^{18}F]фторида при увеличении объема фасовки раствора наиболее сильный для партий с высокими начальными объемными активностями

Таблица 2. Зависимость доли активности [^{18}F]фторида и радиохимической чистоты [^{18}F]ФДГ через 8 ч хранения от объема раствора радиофармпрепарата во флаконе

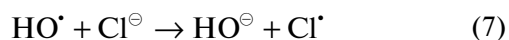
Начальная объемная активность [^{18}F]ФДГ, ГБк/мл	Объем раствора, мл	Показатели качества радиофармпрепарата			
		по данным радио-ВЭЖХ		по данным радио-ТСХ	
		Доля активности [^{18}F]F ⁻ , %	радиохимическая чистота, %	доля активности [^{18}F]F ⁻ , %	радиохимическая чистота, %
4.196	1.5	3.07	96.71	2.34	97.66
	8	4.06	95.75	2.62	97.38
4.023	1.5	2.09	97.77	1.55	98.45
	8	3.56	96.44	2.50	97.50
5.452	1.5	3.25	96.56	2.48	97.52
	8	4.58	95.21	3.35	96.65
5.358	1.5	4.45	95.29	3.30	96.70
	8	6.75	92.90	5.08	94.92

[¹⁸F]ФДГ (табл. 2), когда в водно-органических системах, насыщенных воздухом, происходит интенсивное расходование кислорода. Поэтому наблюдаемый эффект интенсификации авторадииолиза [¹⁸F]ФДГ может быть связан с изменением концентрации кислорода в РФП.

Технологически достижимые концентрации [¹⁸F]ФДГ в растворах не превышают 10⁻⁶ моль/л, поэтому данное фторорганическое соединение не способно выиграть конкуренцию у кислорода за гидратированный электрон. Следовательно, в аэрированном физиологическом 0.9% водном растворе NaCl гидратированный электрон и атом водорода будут количественно взаимодействовать с кислородом по реакциям 4 и 5. Процессы типа диссоциативного присоединения e_{aq}⁻, характерные для хлор-, бром- и иодорганических соединений [15] будут маловероятны для препаратов [¹⁸F]ФДГ, насыщенных воздухом.



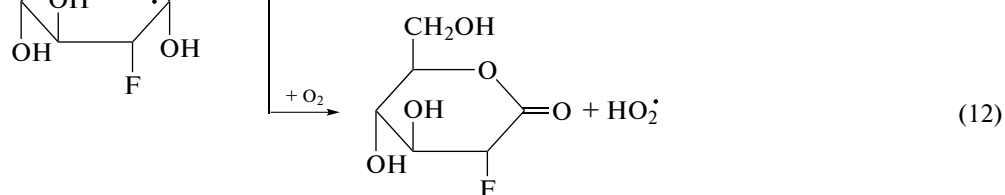
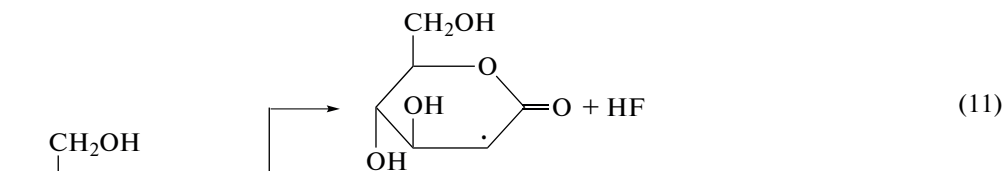
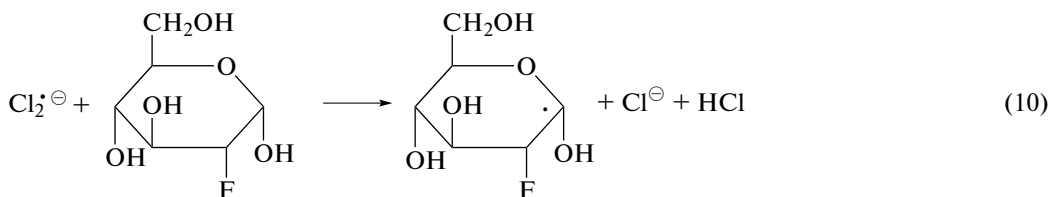
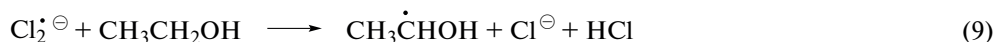
Радикалы [•]ОН при взаимодействии с хлоридами будут превращаться в Cl₂⁻ по реакциям 7 и 8:



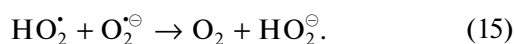
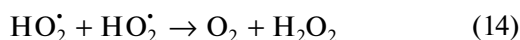
Как и [•]ОН анион-радикал Cl₂⁻ проявляет сильные окислительные свойства и в РФП будет в первую очередь взаимодействовать с органическими веществами, содержащимися в более высоких концентрациях, в частности, с этанолом по реакции 9. Лишь малая доля Cl₂⁻ будет окислять [¹⁸F]ФДГ, например, по реакции 10.

С учетом строения молекулы [¹⁸F]ФДГ наиболее вероятным механизмом элиминирования [¹⁸F]фторида является двойная β-фрагментация α-гидроксилсодержащих углеродцентрированных радикалов (α-ГУР), например по реакции 11. Аналогичного рода процессы являются доминирующими при дегалогенировании хлор- и бромгидринов [16], дегидратации моносахаридов [17], расщепления О-гликозидной связи в гликозидах и дисахаридах [18–20].

В публикациях [18, 21] было показано, что кислород за счет окисления α-ГУР эффективно ингибирует свободнорадикальные реакции элиминирования функциональных фрагментов от гликозидов различного строения. Можно предположить, что и в нашем случае кислород так же будет ингибировать процессы авторадииолитического дегалогенирования [¹⁸F]ФДГ в аэрированных водных растворах посредством окисления α-ГУР, например по реакции 12.



С использованием несложных расчетов можно показать, что концентрация растворенного кислорода будет быстро снижаться в препарате $[^{18}\text{F}]\text{ФДГ}$ вследствие радиационно-индуцированных процессов. При средней энергии испускаемых при распаде фтора-18 позитронов 0.25 МэВ [14] в растворе РФП с объемной активностью 5.4 ГБк/мл будет выделяться 1.35×10^{15} эВ $\text{мл}^{-1} \text{с}^{-1}$. Кислород будет расходоваться в реакциях 4 и 5 с восстанавливающими радикальными продуктами радиолиза воды, а также при взаимодействии с углерод-центрированными радикалами органических соединений по реакциям 12 и 13. В дальнейшем HO_2^\bullet и $\text{O}_2^{\bullet-}$ будут диспропорционировать до пероксида водорода по реакциям 14, 15.



Уравнение материального баланса для радиационно-химического выхода разложения кислорода примет следующий вид $G(-\text{O}_2) = 0.5 (G_{\text{HO}_2^\bullet} + G_{\text{H}^\bullet} + G_{\text{e}_{\text{aq}}^-}) = 2.975$ молекул/100 эВ, а скорость его расходования будет составлять 4.02×10^{13} молекул $\text{мл}^{-1} \text{с}^{-1}$. При концентрации растворенного в воде кислорода 2.58×10^{-4} моль/л (25°C) для его полного расходования будет достаточно 3856 с или 1.07 ч. Приведенные расчеты используют упрощенную схему авторадилитических превращений и не учитывают ряд других факторов, однако позволяют количественно оценить интенсивность расходования растворенного кислорода. По мере снижения его концентрации в препарате $[^{18}\text{F}]\text{ФДГ}$ кислород начнет диффундировать в раствор из воздуха, который содержится во флаконе. Поэтому соотношение объемов раствора РФП и воздуха во флаконе непосредственно влияет на концентрацию растворенного кислорода в препарате $[^{18}\text{F}]\text{ФДГ}$ при хранении.

Таким образом, наблюдаемая интенсификация авторадилитического разложения $[^{18}\text{F}]\text{ФДГ}$ при увеличении объема фасовки раствора во флаконы может быть связана со снижением концентрации кислорода в растворе РФП, вследствие чего соотношение вероятности реализации реакций 11 и 12 смещается в сторону первого процесса — монорадикального дегалогенирования.

Следует отметить, что, несмотря на все усилия по ингибированию авторадилитического разложения, периодически выпускаются партии $[^{18}\text{F}]\text{ФДГ}$, для которых на момент окончания срока годности радиохимическая чистота и относительная активность $[^{18}\text{F}]\text{фторида}$ может превысить установленные фармакопейные пределы. Как правило, такое случается

вследствие нештатных условий производства или проблем с доставкой РФП. При этом отмена запланированных ПЭТ/КТ-исследований с $[^{18}\text{F}]\text{ФДГ}$ создает значительные неудобства для пациентов и репутационные потери для клиник.

Для исключения артефактов радионуклидной диагностики, связанных с наличием $[^{18}\text{F}]\text{фторида}$ в $[^{18}\text{F}]\text{ФДГ}$, а также для снижения дозовой нагрузки на красный костный мозг пациентов мы рекомендуем использовать сорбционный способ очистки РФП от этого радиоактивного продукта авторадилитического разложения, приведенный в методической части статьи. Описанная процедура может быть легко реализована в любом ПЭТ-центре и позволяет полностью удалять $[^{18}\text{F}]\text{фторид}$ из $[^{18}\text{F}]\text{ФДГ}$. Потери меченого соединения и степень разбавления — приемлемые для радионуклидной диагностики. Например, при очистке 1.27 мл раствора $[^{18}\text{F}]\text{ФДГ}$ активностью 380 МБк (эквивалент одной диагностической дозы РФП), содержащего 57 МБк примеси $[^{18}\text{F}]\text{фторида}$, 67.2% активности $[^{18}\text{F}]\text{ФДГ}$ регистрируется в элюате, 20% — остаются на картридже, остальное — в шприце и на фильтре. Объемная активность $[^{18}\text{F}]\text{ФДГ}$ при этом снижается в 3.7 раза. Препарат сохраняет стерильность и апиrogenность в силу использования фильтра с размером пор 0.22 $\mu\text{м}$.

ЗАКЛЮЧЕНИЕ

В работе изучена кинетика авторадилитического разложения радиофармацевтического препарата “2- $[^{18}\text{F}]\text{фтордезоксиглюкоза}$ ” ($[^{18}\text{F}]\text{ФДГ}$) в насыщенном воздухом физиологическом растворе с начальными объемными активностями 4.02–5.45 ГБк/мл. Показано, что увеличение начальной объемной активности или снижение концентрации этанола приводят к более интенсивному накоплению радиолитического $[^{18}\text{F}]\text{фторида}$ и деградации радиохимической чистоты препарата. При хранении радиофармацевтического препарата зафиксировано снижение концентрации этанола и образование продукта его радиационно-индуцированных превращений в присутствии кислорода — ацетальдегида, причем концентрация последнего коррелирует с относительной активностью $[^{18}\text{F}]\text{фторида}$. Установлено, что при хранении препаратов $[^{18}\text{F}]\text{ФДГ}$ с одинаковой начальной объемной активностью в герметичных флаконах объемом 15 мл по истечении 8 ч относительная активность $[^{18}\text{F}]\text{фторида}$ и, соответственно, степень авторадилитического разложения исходного меченого соединения значительно выше в растворах объемом 8 мл по сравнению с 1.5 мл. Это может быть связано как с увеличением поглощенной препаратом дозы, так и с ингибирующим действием кислорода на процесс радиационно-индуцированного дегалогенирования. Для обес-

печения качества радиофармацевтического препарата предложен сорбционный способ очистки [¹⁸F]ФДГ от [¹⁸F]фторида в условиях действующего ПЭТ-центра, обеспечивающий сохранение асептики и апиrogenности инъекционного лекарственного средства.

БЛАГОДАРНОСТИ

Авторы выражают благодарность Мироновичу Андрею Игоревичу за помощь в изучении радиохимической чистоты радиофармацевтического препарата [¹⁸F]ФДГ.

СПИСОК ЛИТЕРАТУРЫ

1. *Vallabhajosula S.* // Molecular Imaging: Radiopharmaceuticals for PET and SPECT / Book, Berlin Heidelberg: Springer-Verlag. 2009. 372 p.
2. *Búriová E., Macášek F., Melichar F., Kropá M., Procházka L.* // J. Radioanal. Nucl. Chem. 2005. V. 264. № 3. P. 595.
3. US Patent 7,018,614
4. *Бринкевич С.Д., Суконко О.Г., Чиж Г.В., Полойко Ю.Ф.* // Медико-биологические проблемы жизнедеятельности. 2014. № 11. С. 151.
5. *Brinkevich S., Pires L.P., Portilho F.L., Santos-Oliveira R.* // Current Radiopharmaceuticals. 2018. V. 11. P. 69.
6. *Walters L.R., Martin K.J., Jacobson M.S., Hung J.C., Mosman E.A.* // Journal of Nuclear Medicine Technology. 2012. V. 40. № 1. P. 52.
7. *Бринкевич С.Д., Тугай О.В., Невзоров Д.И.* // Химия высоких энергий. 2019. Т. 53. № 4. С. 294.
8. *Иванюкович А.А., Сорока С.А., Крот В.О., Бринкевич Д.И., Бринкевич С.Д., Чиж Г.В., Свердлов Р.Л.* // Медицинская физика. 2018. № 4. С. 59.
9. *Бринкевич С.Д., Крот В.О., Бринкевич Д.И., Тугай О.В., Едимечева И.П., Иванюкович А.А.* // Радиохимия 2019. Т. 61. № 4. С. 344.
10. *Council of Europe* // European Pharmacopoeia 8.0. Article 01/2014:1325: Fludeoxyglucose (¹⁸F) injection. / Strasbourg, France. 2013. P. 1052.
11. *Бринкевич С.Д., Шадыро О.И.* // Химия высоких энергий. 2018. Т. 52. № 4. С. 347.
12. *Бринкевич С.Д., Кузьмук Д.А., Свердлов Р.Л., Шадыро О.И.* // Химия высоких энергий. 2019. Т. 53. № 6. С. 478.
13. *Бринкевич С.Д.* // Химия высоких энергий. 2015. Т. 49. № 2. С. 83.
14. *Бринкевич С.Д., Суконко О.Г., Чиж Г.В., Наумович А.С.* // Медико-биологические проблемы жизнедеятельности. 2013. № 10. С. 129.
15. *Джагацпаян Р.В., Филиппов М.Т.* // Радиационная химия галогенсодержащих органических соединений. М.: Атомиздат, 1973. 271 с.
16. *Петряев Е.П., Шадыро О.И.* // Радиационная химия бифункциональных органических соединений. Минск: Университетское, 1986. С. 165.
17. *Von Sonntag C., Schuchmann H.P.* // Carbohydrates / Radiation chemistry: present status and future trends. Amsterdam: Elsevier, 2001. P. 481
18. *Шадыро О.И., Кисель Р.М.* // Химия высоких энергий. 2007. Т. 41. № 5. С. 369.
19. *Yurkova I., Kisel M., Arnhold J., Shadyro O.* // Chem. Phys. Lipids. 2005. V. 134. № 1. P. 41.
20. *Shadyro O., Yurkova I., Kisel M., Brede O., Arnhold J.* // Free Rad. Biol. Med. 2004. V. 36. № 12. P. 1612.
21. *Edimecheva I.P., Kisel R.M., Shadyro O.I., Kazem K., Murase H., Kagiya T.* // J. Radiat. Res. 2005. V. 46. № 3. P. 319